

И Н С Т И Т У Т <sup>21</sup>  
ЯДЕРНОЙ ФИЗИКИ СОАН СССР

ПРЕПРИНТ И Я Ф 76 - 39

**В.В.Вечеславов**

**ВЫБОР ХАРАКТЕРИСТИК ОТДЕЛЬНОЙ  
МАКРОЧАСТИЦЫ В МЕТОДЕ МАКРОЧАСТИЦ**

Новосибирск

1976

ВЫБОР ХАРАКТЕРИСТИК ОТДЕЛЬНОЙ МАКРОЧАСТИЦЫ  
В МЕТОДЕ МАКРОЧАСТИЦ

В.В.Вечеславов

А Н Н О Т А Ц И Я

Точность результатов численного моделирования при использовании метода макрочастиц в сочетании с алгоритмом дискретного быстрого преобразования Фурье (БПФ) зависит, в частности, от выбора: 1) характеристик отдельной макрочастицы, 2) способа "размазывания" полного заряда макрочастицы по узлам расчетной сетки, 3) способа интерполяции значений потенциала и компонент напряженности поля /1/.

Обсуждается возможность осуществить этот выбор оптимально с учетом основных свойств БПФ. Рассмотрение основано на следствиях известной теоремы В.А.Котельникова о функциях с ограниченным спектром /4/.

Проверка предлагаемых решений проведена для случая двумерной прямоугольной области.

I. Метод макрочастиц является в настоящее время основным при численном моделировании многих процессов в плазме и ускорителях с высокой интенсивностью пучка [1,2].

Практика показала, что наиболее эффективные варианты метода требуют введения вспомогательных расчетных сеток, в узлах которых на разных стадиях расчета хранятся значения плотности заряда, потенциала и т. д. Распределение заряда в форме макрочастиц и наличие расчетных сеток являются причинами возникновения "дробового" и "сеточного" шумов соответственно [1].

Технические параметры современных ЭВМ не позволяют избавиться от этих шумов за счет увеличения числа модельных частиц и узлов сеток, поэтому необходимо искать другие пути: "У нас нет возможности не иметь дело с физикой (и шумами) очень немногих частиц и очень грубыми сетками, следовательно, мы должны понять эту физику и найти подходящие способы для уменьшения шума" (Ч.Бэрдсол и др. [1]).

В настоящей работе с этой точки зрения обсуждаются вопросы, связанные с выбором: 1) характеристик отдельной макрочастицы, 2) способа "размазывания" полного заряда макрочастицы по узлам расчетной сетки при формировании правой части уравнения Пуассона, 3) способа пересчета от узлов сетки на координаты макрочастиц значений потенциала и компонент напряженности поля.

Предполагается, что в качестве метода интегрирования уравнения Пуассона используется метод дискретного быстрого преобразования Фурье-БПФ [3].

2. Рассмотрим одномерную область  $0 \leq x < AX$  с которой связана неподвижная расчетная сетка. Число узлов сетки  $NX$ , координаты узлов  $x_n = n \cdot AX/NX$ ,  $n = 0, \dots, NX-1$ ; расстояние между соседними узлами назовем шириной ячейки. Все определенные в области функции считаем периодическими с периодом  $AX$  (позже это ог-

раничение будет снято).

Обычно отдельная макрочастица описывается заданием распределения её удельного (отнесенного к массе) заряда  $\rho(x)$ , которое различными исследователями выбирается от однородного до гауссова [1]. Информация об этом распределении поступает для дальнейшей обработки методом БПФ в виде зависящего от положения макрочастицы набора значений плотности в узлах расчетной сетки. Если использовать полученный в результате работы БПФ спектр Фурье и восстановить представляемую им функцию  $\tilde{\rho}(x)$ , то в общем случае полученные таким способом "образы" макрочастицы для различных её положений в области будут отличаться как от  $\rho(x)$ , так и друг от друга. Это объясняется тем, что в составе прошедших дискретную Фурье-обработку функций отсутствуют гармоники с частотами  $\omega > \omega_c = \pi \cdot NX / AX$ , а в исходном распределении на их долю может приходиться заметная часть. Сказанное иллюстрирует рис.1, где для двух положений макрочастицы сплошная линия изображает запланированное треугольное распределение  $\rho(x)$ , а пунктирная — распределение  $\tilde{\rho}(x)$ , которое "видит" БПФ; число узлов расчетной сетки  $NX=8$ .

Отмеченный эффект, не исчезающий и при использовании многих макрочастиц, приводит к непостоянству полного заряда в системе и "дребезгу" всех получаемых через решение уравнения Пуассона величин.

Естественно попытаться связать с макрочастицей распределение  $\rho(x)$  специального вида, которое воспринималось бы алгоритмом БПФ без искажений.

Существование периодических функций с требуемыми свойствами прямо следует из известной теоремы В.А.Котельникова о функциях с ограниченным спектром [4]; относящиеся сюда подробности приведены в Приложении I.

В нашем случае искомое инвариантное распределение имеет вид

$$\rho(x) = \frac{1}{NX} \cdot \text{Sin} \left( \pi x \frac{NX}{AX} \right) \cdot \sum_{n=0}^{NX-1} \rho(x_n) \cdot \text{ctg} \pi \left( \frac{x}{AX} - \frac{n}{NX} \right), \quad (1)$$

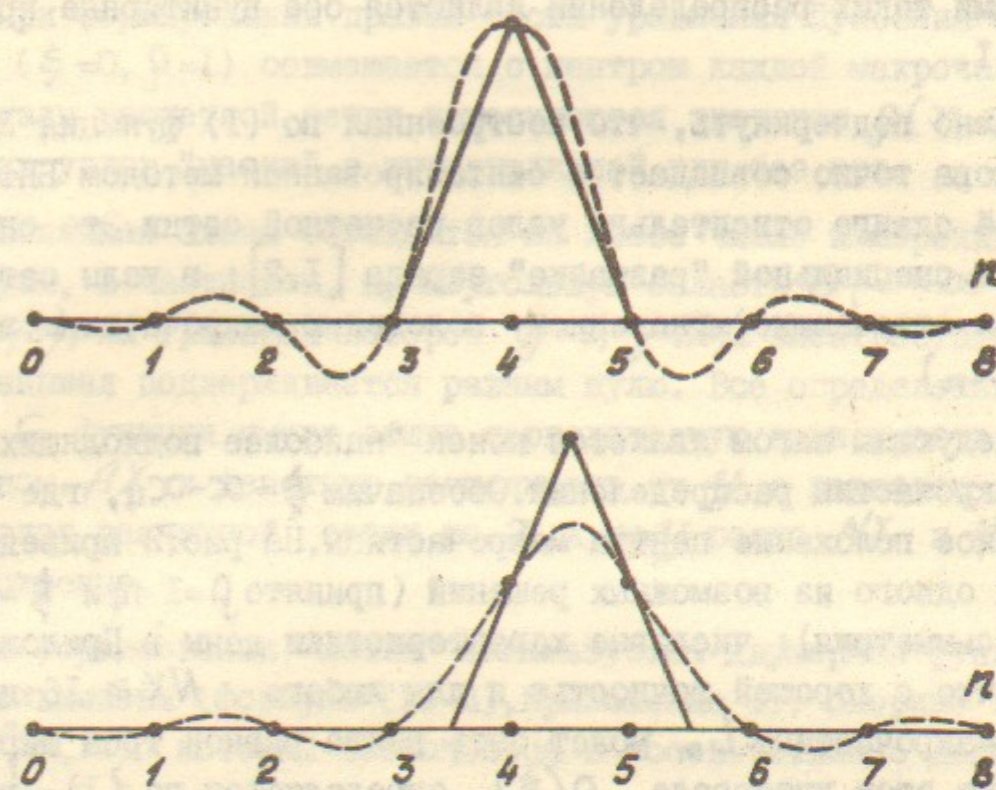


Рис.1

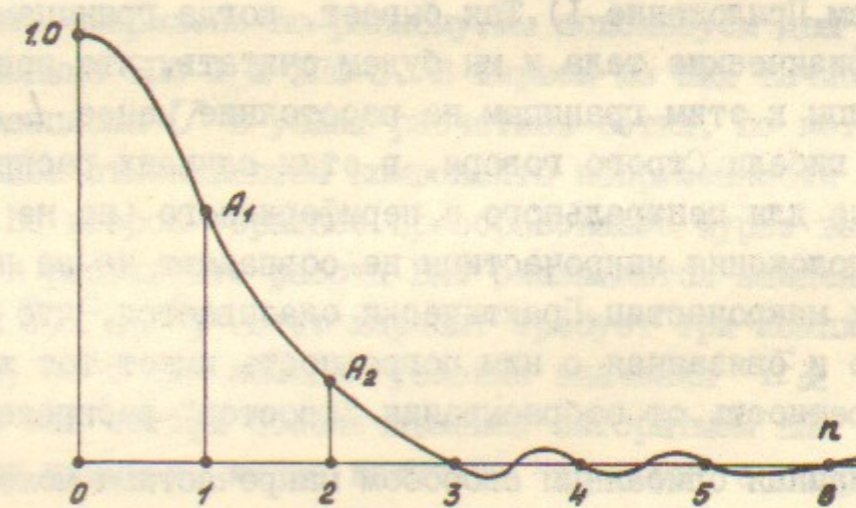


Рис.2

и определяется заданием  $NX$  независимых опорных величин  $\rho(x_n)$ ; примерами таких распределений являются обе пунктирные кривые на рис.1.

Важно подчеркнуть, что построенная по (1) функция В.А.Котельникова точно совпадает с синтезированной методом БПФ при любом её сдвиге относительно узлов расчетной сетки. Это снимает вопрос о специальной "размазке" заряда [1,2]: в узлы сетки за- сылаются отвечающие мгновенному положению макрочастицы значения  $\rho(x_n)$ .

Следующим шагом является поиск "наиболее подходящих" на роль макрочастиц распределений. Обозначим  $\xi = x - x_c$ , где  $x_c$  - мгновенное положение центра макрочастицы. На рис.2 приведен общий вид одного из возможных решений (принято  $\rho=1$  при  $\xi=0$  и учтена симметрия); числовые характеристики даны в Приложении 2. Видно, что с хорошей точностью и для любого  $NX \geq 16$  полу- ширина макрочастицы  $L_m$  может быть взята равной трем ширинам ячеек: на этом интервале  $\rho(\xi)$  определяется по (1), вне его (зона "хвостов") принимается  $\rho(\xi) \equiv 0$ .

До сих пор предполагалось, что  $\rho(x)$  периодична с пери- одом  $AX$ . Если граничные условия задачи требуют нечетную или четную зависимости, то для формирования  $\rho(x)$  должны быть при- влечены нечетная или четная функции В.А.Котельникова соответ- ственно (см. Приложение 1). Так бывает, когда границами области являются физические тела и мы будем считать, что приближение макрочастицы к этим границам на расстояние менее  $L_m$  равно- сильно её гибели. Строго говоря, в этих случаях распределения, построенные для центрального и периферийного (но не ближе  $L_m$  до края) положения макрочастицы не совпадают из-за наличия отраженных макрочастиц. Практически оказывается, что это раз- личие мало и связанная с ним погрешность имеет тот же порядок, что и погрешность от отбрасывания "хвостов" распределения.

Полученная описанным способом макрочастица может рассма- триваться как объект с практически неизменными свойствами. Это позволяет использовать специальную сетку-"маску", в узлы кото- рой до начала счета заносятся величины  $\rho(\xi)$ ,  $-L_m \leq \xi \leq L_m$ ,

определенные по (1) с шагом  $\Delta\xi$ , в  $MX$  раз меньшем ширины ячейки. При формировании правой части уравнения Пуассона центр "маски" ( $\xi=0, \rho=1$ ) совмещается с центром каждой макрочасти- цы и в узлы расчетной сетки пересылаются значения  $\rho(x_n)$  из ближайших узлов "маски" с интерполяцией или без нее.

Изложенная схема обобщается на любое число измерений. Рассмотрим, в частности, прямоугольную область  $G(0 \leq x < AX, 0 \leq y < AY/2)$ , на границах которой  $y=0, y=AY/2$  электростатичес- кий потенциал поддерживается равным нулю. Все определенные в области  $G$  функции имеют общую периодическую зависимость от  $x$  с периодом  $AX$  и нечетную зависимость от  $y$  с периодом  $AY$ . Число узлов расчетной сетки по  $x$  и по  $y$  равно  $NX$  и  $NY/2$  соответственно.

При формировании "маски" используется двумерная функция В.А.Котельникова (формула (III-4), Приложение 1), опорные зна- чения  $f(m, n)$  которой назначаются в соответствии с данными Приложения 2. В этом случае "маска" характеризуется двумя чис- лами  $MX$  и  $MY$ , показывающими, сколько узлов "маски" при- ходится на ширину ячейки по  $x$  и по  $y$  соответственно. По усло- виям симметрии достаточно сформировать четвертую часть "маски" с общим числом узлов  $9 \cdot MX \cdot MY$ .

3. Применение алгоритма БПФ в общей схеме метода макрочас- тиц может быть оформлено по-разному. Мы используем два варианта, условно названные БПФ-1 и БПФ-3. В первом из них вычисляются значения потенциала  $U$  в узлах расчетной сетки, по которым диф- ференцированием отыскиваются компоненты напряженности поля  $E_x$  и  $E_y$  [1,2]. Во втором обратное преобразование Фурье выполняет- ся трижды и в результате работы БПФ оказываются найдены узло- вые значения  $U, E_x, E_y$ . Этот вариант требует три комплекта рас- четных сеток, но с его помощью узловые значения  $E_x$  и  $E_y$  определяются без потери обеспечиваемой алгоритмом БПФ точно- сти (условимся называть такие величины "точными" с сохранением кавычек).

Отыскание  $U, E_x, E_y$  в произвольной точке области осу- ществляется интерполяцией по их значениям в нескольких ближай-

ших узлах сетки, причем обычно используется аппроксимация искомым зависимостям полиномами [2, 5].

Представляет интерес привлечь к решению проблемы интерполяции введенные в предыдущем разделе функции В.А.Котельникова, которые в аналитической форме выражают связь "точных" значений функции всюду в области с ее значениями в узлах. Обсудим эту возможность подробнее, для определенности имея в виду рассмотренную выше прямоугольную область  $G$ .

Вычисление значений  $U(x, y), E_x(x, y), E_y(x, y)$  путем интерполяции в варианте БПФ-3 осуществляется простым использованием по отношению к каждой из этих функций формул вида (П-4) Приложения I или (ПЗ-1) Приложения 3. При работе с БПФ-1 известны лишь узловые значения потенциала, по которым, как и для БПФ-3, легко строится функция В.А.Котельникова  $U(x, y)$ . Для нахождения  $E_x(x, y), E_y(x, y)$  эта функция дифференцируется (см. Приложение 3).

В одних и тех же точках области, включая узловые, результаты вычислений по обоим вариантам совпадают.

Привлечение к интерполяции всех узлов расчетной сетки далеко не всегда оправдано и избежать этого можно следующими способами (см. формулу (П-4)): 1) пренебрегая вкладом далеких от искомой точки узлов, полагая для этих узлов  $f(m, n) = 0$ , 2) опирая функцию В.А.Котельникова на часть узлов расчетной сетки, т.е. используя уменьшенные (покаждому направлению независимо) величины  $NX$  и  $NY$ , 3) комбинируя первый и второй способы.

Выяснение характеристик функций В.А.Котельникова как средства интерполяции при работе с неполным числом узлов и сравнение их с интерполяционными многочленами является специальной задачей, которая здесь не обсуждается. Для целей настоящей работы важно, что использование этих функций делает доступным знание "точных" значений и позволяет легко контролировать точность интерполяции.

4. Проверка изложенных выше представлений проводилась в прямоугольной области  $G$  с параметрами  $AX = 60, AY/2 = 8, NX = 32, NY/2 = 16$  и состояла из этапов I) формирования "маски",

2) определения изменений заряда и энергии при движении в области одной макрочастицы, 3) то же при движении многих макрочастиц. В качестве критериев стабильности заряда и энергии использовались величины их максимальных относительных флуктуаций, наблюдаемые на интервале счета. Параллельно с изучением поведения макрочастиц, имеющих "маску" аналогичные вычисления в тех же условиях были выполнены для известного под названием "cloud-in-cell" ("CIC") способа "размазки" заряда по четырем окружающим центр макрочастицы узлам сетки [1] (рис. I построен для одномерного аналога "CIC").

Уравнения движения макрочастиц и принятая схема их интегрирования описаны в Приложении 4.

Мы считали главной задачей выяснение связи качества формирования макрочастицы с качеством результатов численного моделирования. По этой причине величина шага интегрирования и длина интервала счета назначались так, чтобы не смогли существенно проявить себя присущие схеме интегрирования погрешности, а при интерполировании использовалось значительное (иногда полное) число узлов расчетной сетки.

Формирование "маски" выполнялось по формуле (П-4) с найденными согласно Приложению 2 значениями  $f(m, n)$ ,  $0 \leq m \leq 31, 0 \leq n \leq 15$ :

$$\begin{aligned} f(16, 8) &= 1. \\ f(15, 8) &= f(17, 8) = 0.58004; \quad f(14, 8) = f(18, 8) = 0.08885; \\ f(16, 7) &= f(16, 9) = 0.58004; \quad f(16, 6) = f(16, 10) = 0.08885; \\ f(17, 9) &= f(15, 9) = f(15, 7) = f(17, 7) = 0.33644; \\ f(17, 10) &= f(15, 10) = f(15, 6) = f(17, 6) = 0.05154; \\ f(18, 9) &= f(14, 9) = f(14, 7) = f(18, 7) = 0.05154; \\ f(18, 10) &= f(14, 10) = f(14, 6) = f(18, 6) = 0.00789; \\ f(m, n) &= 0 \text{ для всех остальных узлов.} \end{aligned}$$

Полный содержащийся в прямоугольнике  $G$  "с точки зрения БПФ" электростатический заряд  $Q$  можно определить по теореме Гаусса  $\oint \vec{E} \cdot d\vec{l} \sim Q$ , используя для этого вычисляемые с помощью БПФ-3 значения компонент напряженности поля  $E_x, E_y$  в граничных узлах расчетной сетки. Максимальные величины найденных та-

ким путем относительных флуктуаций заряда  $\delta Q = (Q_{\max} - Q_{\min}) / Q_{\text{ср}}_{\text{дан}}$  при движении в области одной макрочастицы с энергией 200 кэВ приведены в Таблице I. Поперечные колебания макрочастицы ограничивались внешним магнитным полем  $1.5 < y < 6.5$  и время счета превышало полупериод этих колебаний.

Электростатический потенциал на границах  $y = 0, y = 8$  поддерживается равным нулю, а всюду внутри  $G$  определяется мгновенным положением макрочастицы и величиной её заряда. Применение грубой "маски" эквивалентно ошибке в положении макрочастицы, а грубого способа "размазки" — ошибке в величине её заряда. Влияние этих факторов хорошо просматривается во втором столбце Таблицы I, где даны максимальные значения флуктуаций энергии  $\delta E = 2 \cdot (E_{\max} - E_{\min}) / U_{\text{мо}}$ . Здесь  $U_{\text{мо}}$  — максимальное провисание потенциала в области для начального положения макрочастицы (в нашем случае  $U_{\text{мо}} \approx 0.06$ ); полная энергия  $E$  определялась по (П4-3). При вычислении данных Таблицы I использовались "точные" значения  $U, E_x, E_y$ , т.е. интерполяция осуществлялась по всем  $Nx \cdot Ny / 2 = 512$  узлам расчетной сетки.

Мгновенное значение полного заряда макрочастицы определяется её мгновенным положением в ячейке расчетной сетки (см. рисунок I) и слабо зависит от положения этой ячейки в области. Отсюда следует, что с увеличением числа макрочастиц величины  $\delta Q, \delta E$  должны уменьшаться. Для выяснения примерного характера этой зависимости изучалось поведение  $N$  макрочастиц, начальные положения центров которых  $x(i), y(i)$  задавались алгоритмом:

$$M = N/3; \quad i = 1, 2, \dots, M; \quad \varphi = 2\pi \cdot (i-1)/M; \quad z = \cos \varphi;$$

$$x(i) = x(i+M) = x(i+2 \cdot M) = 60 \cdot (i-1)/M$$

$$y(i) = 4 - 2,7 \cdot z; \quad y(i+M) = 4 - 1,5 \cdot z; \quad y(i+2 \cdot M) = 4 - 0,5 \cdot z$$

Результаты сведены в Таблицу II, при построении которой использовалась "маска"  $Mx = 16, My = 20$  без интерполяции.

Видно, что для относительно "спокойных" потоков наличие многих макрочастиц хотя и не ликвидирует, но заметно сглаживает эффект непостоянства полного заряда. Это сглаживание может проявляться намного слабее для потоков с резко выраженными не-

Таблица I

Способ распределения заряда	$\delta Q (\%)$	$\delta E (\%)$
"маска" $Mx=10, My=10$ без интерполяции	0.06	1.9
"маска" $Mx=10, My=10$ с интерполяцией	0.06	0.4
"маска" $Mx=16, My=20$ без интерполяции	0.06	1.4
"маска" $Mx=16, My=20$ с интерполяцией	0.06	0.4
"СГС"	9.4	25.4

Таблица II

Число макрочастиц $N$		I	I20	300	600	I000	I000	I000
$\delta Q$ ("маска")	%	0.06	0.02	0.02	0.02	0.02	0.02	0.02
$\delta Q$ ("СГС")	%	9.4	3.7	4.0	4.1	1.6	1.6	1.6
$\delta E$ ("маска")	%	1.4	0.56	0.31	0.23	0.31	1.4	1.9
$\delta E$ ("СГС")	%	25.4	5.2	0.84	0.80	0.93	3.4	4.6
Использованное при интерполяции число узлов расчетной сетки		512	64	64	64	64	32	16

однородностями в распределении плотности. Кроме того, во всех случаях использования алгоритма "СІС" при больших временах счета существует угроза возникновения значительных флуктуаций заряда и возрастания погрешности счета.

Отметим также, что применение "маски" позволяет сравнительно легко учитывать распределение значений  $U, E_x, E_y$  по объему, занимаемому каждой макрочастицей. Это обстоятельство, как и интерполяцию по "маске", можно использовать для дальнейшего повышения точности результатов численного моделирования с помощью метода макрочастиц.

5. Все расчеты проводились на ЭВМ БЭСМ-6 Вычислительного Центра СО АН СССР.

Рабочие программы написаны на языке "ФОРТРАН", кроме блока решения уравнения Пуассона; последний выполнен в автокоде "МАДЛЕН" Н.И.Толстобровой и Л.Ф.Хайло на основе результатов, полученных в работе [3].

Каждый этап вычислений состоит из: 1) формирования правых частей уравнения Пуассона, 2) решения уравнения Пуассона, 3) интерполяции для отыскания  $U, E_x, E_y$ , 4) интегрирования уравнений движения. Для варианта БПФ-І при числе макрочастиц  $M=1000$ , числе узлов расчетной сетки  $32 \times 16$  и интерполяции по 16 узлам этой сетки время выполнения одного этапа  $\tau$  ("маска" без интерполяции) = 5.9 сек.,  $\tau$  ("СІС") = 4.7 сек; время решения уравнения Пуассона равно 0.4 сек. Приведенные здесь цифры затрат вычислительного времени следует рассматривать как предварительные.

Автор благодарен В.Г.Давидовскому и Б.В.Чирикову за обсуждения.

Функции В.А.Котельникова.

Произвольная функция своего аргумента  $f(t)$ , в спектре которой не содержатся частоты выше некоторой граничной частоты  $\omega_c$  может быть представлена известным рядом В.А.Котельникова [4]:

$$f(t) = \sum_{k=-\infty}^{\infty} f\left(k \cdot \frac{\pi}{\omega_c}\right) \cdot \frac{\sin(\omega_c t - k\pi)}{\omega_c t - k\pi}, \quad (\text{ПІ-1})$$

Аппарат дискретного преобразования Фурье имеет дело с периодическими функциями  $f(t+T) = f(t)$ , заданными равноотстоящими значениями  $f(\tau n/N)$ ,  $n=0, 1, \dots, N-1$ ; граничная частота в спектре таких функций  $\omega_c = \pi N/T$  и обычно число узловых ординат  $N$  есть четное число. Для этого класса функций основная зависимость (ПІ-1) может быть преобразована. Меняя порядок суммирования, находим:

$$\begin{aligned} f(t) &= \sum_{n=0}^{N-1} f\left(\tau \frac{n}{N}\right) \cdot \left\{ \sum_{k=-\infty}^{\infty} \frac{\sin \pi N \left(\frac{t}{T} - \frac{n}{N} - k\right)}{\pi N \left(\frac{t}{T} - \frac{n}{N} - k\right)} \right\} = \\ &= \sum_{n=0}^{N-1} f\left(\tau \frac{n}{N}\right) \cdot \frac{\sin \pi N \left(\frac{t}{T} - \frac{n}{N}\right)}{\pi N} \cdot \sum_{k=-\infty}^{\infty} \frac{1}{\frac{t}{T} - \frac{n}{N} - k}; \end{aligned}$$

Используя формулу разложения котангенса на элементарные дроби, получаем окончательно:

$$\begin{aligned} f(t) &= \frac{1}{N} \sum_{n=0}^{N-1} f\left(\tau \frac{n}{N}\right) \cdot \sin \pi N \left(\frac{t}{T} - \frac{n}{N}\right) \cdot \operatorname{ctg} \pi \left(\frac{t}{T} - \frac{n}{N}\right) = \\ &= \frac{1}{N} \sin \pi N \frac{t}{T} \cdot \sum_{n=0}^{N-1} f\left(\tau \frac{n}{N}\right) \cdot (-1)^n \cdot \operatorname{ctg} \pi \left(\frac{t}{T} - \frac{n}{N}\right); \quad (\text{ПІ-2}) \end{aligned}$$

Выражение (ПІ-2) удобно назвать функцией В.А.Котельникова.

Для частных случаев имеем:

а) нечетная функция  $f\left(\tau \frac{n}{N}\right) = -f\left(\tau \frac{N-n}{N}\right)$ ,  $f(0) = f(\tau/2) = 0$ .



$$f(t) = \frac{1}{N} \sin \pi N \frac{t}{T} \sum_{n=1}^{\frac{N}{2}-1} f\left(\tau \frac{n}{N}\right) \cdot (-1)^n \left[ \operatorname{ctg} \pi \left( \frac{t}{T} - \frac{n}{N} \right) - \operatorname{ctg} \pi \left( \frac{t}{T} + \frac{n}{N} \right) \right]; \quad (\text{П1-3})$$

б) четная функция  $f\left(\tau \frac{n}{N}\right) = f\left(\tau \frac{N-n}{N}\right)$ .

$$f(t) = \frac{1}{N} \sin \pi N \frac{t}{T} \left\{ \sum_{n=1}^{\frac{N}{2}-1} f\left(\tau \frac{n}{N}\right) \cdot (-1)^n \left[ \operatorname{ctg} \pi \left( \frac{t}{T} - \frac{n}{N} \right) + \operatorname{ctg} \pi \left( \frac{t}{T} + \frac{n}{N} \right) \right] + f(0) \cdot \operatorname{ctg} \frac{\pi t}{T} - f\left(\frac{T}{2}\right) \cdot \operatorname{tg} \frac{\pi t}{T} \right\}; \quad (\text{П1-3}')$$

Все полученные выше формулы легко обобщаются на любое число измерений. Приведем, в частности, выражение двумерной функции  $f(x, y)$  с общей периодической зависимостью по  $x$  (период  $AX$ , число узлов  $NX$ ) и нечетной зависимостью по  $y$  (период  $Ay$ , число узлов  $Ny$ ):

$$f(x, y) = \frac{1}{NX} \sin \left( \pi x \frac{NX}{AX} \right) \sum_{m=0}^{NX-1} \left\{ \frac{1}{Ny} \sin \left( \pi y \frac{Ny}{Ay} \right) \sum_{n=1}^{\frac{Ny}{2}-1} f(m, n) \cdot (-1)^n \cdot \left[ \operatorname{ctg} \pi \left( \frac{y}{Ay} - \frac{n}{Ny} \right) - \operatorname{ctg} \pi \left( \frac{y}{Ay} + \frac{n}{Ny} \right) \right] \right\} \cdot (-1)^m \operatorname{ctg} \pi \left( \frac{x}{AX} - \frac{m}{NX} \right); \quad (\text{П1-4})$$

здесь  $f(m, n) \equiv f\left(AX \cdot \frac{m}{NX}, Ay \cdot \frac{n}{Ny}\right)$ .

#### Приложение 2

##### Характеристики некоторых распределений.

На рис.2 приведен общий вид (без соблюдения масштаба и с учетом симметрии) функций В.А.Котельникова, которые определяются заданием трех отличных от нуля опорных значений—центрального  $\rho(0) = 1$  и двух соседних  $A_1, A_2$ . Величины  $A_1$  и  $A_2$  нахо-

дятся из требования обращения в нуль значений функции в середине четвертой и пятой ячеек.

Основные параметры таких распределений приведены в таблице, где приняты обозначения:

$NX$  — полное число ячеек (или узлов) расчетной сетки,

$A_1, A_2$  — значения ординат на рис.2,

$S_{02}, S_{03}$  — доля полуплощади всего распределения, заключенная в первых двух и первых трех ячейках соответственно,

$SA_{02}, SA_{03}$  — то же, но площадь вычислена по абсолютному значению  $\rho(x)$ ,

$L_n$  — полуширина эквивалентного по площади однородного распределения  $\rho(x) = 1$ ,

$L_A$  — полуширина эквивалентного по площади абсолютных значений однородного распределения.

$NX$	16	32	64	128	256
$A_1$	0.57273	0.58004	0.58154	0.58189	0.58198
$A_2$	0.08431	0.08885	0.08978	0.09000	0.09006
$S_{02}$	0.97991	0.97878	0.97855	0.97850	0.97848
$S_{03}$	1.00008	1.00010	1.00010	1.00010	1.00010
$SA_{02}$	0.97959	0.97878	0.97571	0.97375	0.97208
$SA_{03}$	0.99975	0.99876	0.99720	0.99550	0.99356
$L_n$	1.16704	1.17839	1.18132	1.18190	1.18204
$L_A$	1.16742	1.18046	1.18475	1.18780	1.18982

#### Приложение 3

Интерполирование и вычисление производных по двумерной сетке потенциала с помощью функций В.А.Котельникова.

Пусть на плоскости  $(x, y)$  задана двумерная сетка, в узлах которой определены значения потенциала  $U$  электростатического поля. Функция  $U(x, y)$  имеет периодическую зависимость по  $x$  общего типа и нечетна по  $y$ . Введем обозначения:

$AX, AY$  - периоды по  $x$  и по  $y$  соответственно,

$NX, NY$  - числа узлов сеток по  $x$  и по  $y$ ,

$m, n$  - номера узлов по  $x$  и по  $y$ ,

$f(m, n) \equiv U(AX \frac{m}{NX}, AY \frac{n}{NY})$  - значение потенциала в узле  $m, n$ .

Используя выражение для двумерной функции В.А. Котельникова (П3-4) из Приложения I, проводя дифференцирование и тригонометрические преобразования для значений потенциала и компонент напряженности поля в произвольной точке с координатами  $0 \leq x < AX$ ,  $0 \leq y \leq AY/2$  находим:

$$U(x, y) = \frac{2}{NX \cdot NY} \sin\left(\pi x \frac{NX}{AX}\right) \sum_{m=0}^{NX-1} (-1)^m \operatorname{ctg} \pi \left(\frac{x}{AX} - \frac{m}{NX}\right) \times$$

$$\times \left\{ \sin\left(\pi y \frac{NY}{AY}\right) \sum_{n=1}^{\frac{NY}{2}-1} \frac{(-1)^n f(m, n) \sin\left(\frac{2\pi n}{NY}\right)}{\cos\left(\frac{2\pi n}{NY}\right) - \cos\left(\frac{2\pi y}{AY}\right)} \right\}; \quad (\text{П3-1})$$

$$E_x(x, y) = \frac{2}{NX \cdot NY} \frac{\pi}{AX} \sum_{m=0}^{NX-1} \left\{ \sin\left(\pi y \frac{NY}{AY}\right) \sum_{n=1}^{\frac{NY}{2}-1} \frac{(-1)^n f(m, n) \sin\left(\frac{2\pi n}{NY}\right)}{\cos\left(\frac{2\pi n}{NY}\right) - \cos\left(\frac{2\pi y}{AY}\right)} \right\} \times$$

$$\times \frac{(-1)^m}{\sin \pi \left(\frac{x}{AX} - \frac{m}{NX}\right)} \left[ \frac{\sin\left(\pi x \frac{NX}{AX}\right)}{\sin \pi \left(\frac{x}{AX} - \frac{m}{NX}\right)} - NX \cdot \cos\left(\pi x \frac{NX}{AX}\right) \cdot \operatorname{cosec} \pi \left(\frac{x}{AX} - \frac{m}{NX}\right) \right]; \quad (\text{П3-2})$$

$$E_y(x, y) = \frac{2}{NX \cdot NY} \frac{2\pi}{AY} \sin\left(\pi x \frac{NX}{AX}\right) \sum_{m=0}^{NX-1} (-1)^m \operatorname{ctg} \pi \left(\frac{x}{AX} - \frac{m}{NX}\right) \left\{ \sum_{n=1}^{\frac{NY}{2}-1} \sin\left(\frac{2\pi n}{NY}\right) \times$$

$$\times \frac{(-1)^n f(m, n)}{\cos\left(\frac{2\pi n}{NY}\right) - \cos\left(\frac{2\pi y}{AY}\right)} \left[ \frac{\sin\left(\pi y \frac{NY}{AY}\right) \cdot \sin\left(\frac{2\pi n}{AY}\right)}{\cos\left(\frac{2\pi n}{NY}\right) - \cos\left(\frac{2\pi y}{AY}\right)} - \frac{NY}{2} \cdot \cos\left(\pi y \frac{NY}{AY}\right) \right] \right\}; \quad (\text{П3-3})$$

Движение макрочастиц  
в прямоугольной области.

Двумерные макрочастицы ("стержни") с линейным зарядом  $Q = Q_0 \cdot e$  и линейной массой  $M = M_0 \cdot m$  ( $e, m$  - заряд и масса электрона) движутся в прямоугольной области  $G(0 \leq x < AX, 0 \leq y \leq AY/2)$ . Частица, покинувшая область по  $y$  считается погибшей, а покинувшая по  $x$  возвращается в нее в соответствии с правилом  $x = \operatorname{MOD}(x, AX) > 0$ . Имеется внешнее магнитное поле  $\tilde{B}(y) = \tilde{K} \cdot (y - AY/4)$ ,  $\tilde{K} = K \cdot mc/e = \text{const}$ .

Примем в качестве единиц линейного заряда, потенциала, импульса и индукции величины  $e, mc^2/e, mcQ_0, mc/e$  соответственно;  $s = ct$  - независимая переменная,  $\frac{d}{ds}(\ ) \equiv (\ )'$ .

а) В относительных единицах движение каждой макрочастицы описывается уравнениями:

$$\left. \begin{aligned} p'_x &= E_x - y' \cdot B(y) & \gamma' &= x' E_x + y' E_y \\ p'_y &= E_y + x' \cdot B(y) & \gamma^2 &= 1 + p_x^2 + p_y^2 \\ x' &= p_x / \gamma & E_x &= -\partial U / \partial x \\ y' &= p_y / \gamma & E_y &= -\partial U / \partial y \end{aligned} \right\} \quad (\text{П4-1})$$

здесь  $x, y$  - координаты центра макрочастицы.

б) Собственное электростатическое поле зарядов определяется уравнением Пуассона:

$$\frac{\partial^2 U}{\partial x^2} + \frac{\partial^2 U}{\partial y^2} = -n(x, y) \cdot \frac{1}{\gamma^2} \cdot \frac{e^2 Q_0}{\epsilon_0 m c^2} \quad (\text{П4-2})$$

где  $n(x, y)$  - плотность распределения макрочастиц,

$\epsilon_0 = 10^{-9}/36\pi$  ф/м, диэлектрическая постоянная,

$\gamma_0$  - энергия частицы при  $U=0$ ; множитель  $1/\gamma_0^2$  в (П4-2)

приближенно учитывает собственное магнитное поле движущихся зарядов (см. примечание).

в) Полная энергия системы

$$E = \sum_{i=1}^N \left[ \gamma_i + U(x_i, y_i) / 2 \right] = \text{const} \quad (\text{П4-3})$$

где  $N$  - число макрочастиц в области.

г) Схема интегрирования (черта сверху соответствует значению переменной в конце шага):

$$\left. \begin{aligned} x'' &= p_x' / \gamma - p_x \gamma' / \gamma^2, & y'' &= p_y' / \gamma - p_y \gamma' / \gamma^2, \\ p_x'' &= \mathcal{K} y'^2 - y'' B(y), & p_y'' &= x'' B(y) - x' y' \mathcal{K}, \\ \bar{p}_x &= p_x + p_x' \cdot \Delta S + p_x'' \cdot \Delta S^2 / 2, \\ \bar{p}_y &= p_y + p_y' \cdot \Delta S + p_y'' \cdot \Delta S^2 / 2, \\ \bar{y} &= y + y' \cdot \Delta S + (x'' E_x + y'' E_y) \cdot \Delta S^2 / 2 \\ \bar{x} &= x + (\bar{p}_x / \bar{y}) \cdot \Delta S \\ \bar{y} &= y + (\bar{p}_y / \bar{y}) \cdot \Delta S \end{aligned} \right\} \text{(П4-4)}$$

Примечание. Возможность приближенного учета релятивистских эффектов пространственного заряда введением множителя  $1/\gamma^2$  обсуждается в работе [6]. Там показано, что это допустимо, если 1) радиус кривизны орбиты не мал, 2) расстояние между пучком и камерой много меньше радиуса орбиты, 3) разброс частиц по скоростям мал по сравнению со средней скоростью.

ЛИТЕРАТУРА

1. Сборник "Вычислительные методы в физике плазмы", "МИР", М., 1974.
2. Захаров А.В., Самарский А.А., Свешникова А.Г. "Применение метода больших частиц к расчету заряженного пучка в электромагнитном поле с учетом пространственного заряда пучка", в сб. "Вычислительные методы и программирование", изд. Моск. Универ., т XVI, 225, 1971.
3. Ch. Iselin, "An approach to fast Fourier transform." CERN-Report 71-19, 1971.
4. Харкевич А.А. "Спектры и анализ", ГИТТЛ, М., 1953.
5. Рошаль А.С. "Численное интерполирование и дифференцирование табулированных функций со сглаживанием", в сб. "Инженерно-математические методы в физике и кибернетике", Атомиздат, М., вып.4, 1975.
6. Нильсен К., Сесслер Э., Саймон К. "Продольные неустойчивости в релятивистских пучках большой интенсивности", в сб. "Накопление релятивистских частиц", Госатомиздат, М., 1963.

1. Сорокин В. И. "Влияние методов и приемов..."  
2. Захаров А. П. "Свойства..."  
3. "Известия..."  
4. "Известия..."  
5. "Известия..."  
6. "Известия..."  
7. "Известия..."  
8. "Известия..."  
9. "Известия..."  
10. "Известия..."

Работа поступила - 16 апреля 1976г.

---

Ответственный за выпуск Попов С.Г.  
Подписано к печати 26.04.1976г. МН 0276Г  
Усл. 1.2 печ.л., тираж 150 экз. Бесплатно  
Заказ № 39

---

Отпечатано на ротапинтере в ИЯФ СО АН СССР